

수소 gas에 의한 산화철의 환원속도에 관한 첨가물의 영향

이 광 학

재료공학과

(1981.12.30 접수)

〈초 록〉

본 실험에서는 산화철의 환원시 rate-determining step 이 되는 Wüstite의 환원을 900°C 이상의 온도에서 수소 gas 분위기 하에서 실시하였다.

promoter로서는 Li₂O, MgO, CaO를 각각 첨가하였고 Wüstite의 환원속도에 미치는 영향을 고찰하였다. 실험결과 불순물 함량이 1.2wt% 일때가 환원속도가 최대로 나타났다.

순수한 Wüstite의 환원속도보다 promoter가 첨가되었을 때의 환원속도가 약 1.5—2배 정도 크게 나타났다.

수소 gas의 유속이 일정할 때는 환원온도가 높을수록 환원속도는 증가하고 일정한 반응온도에서는 수소 gas의 유속이 클수록 환원속도가 증가하였다. 이러한 현상은 적절한 수소 gas를 흘리 보냄으로서 H₂ gas의 starvation를 피할 수 있는 것으로 생각할 수 있다.

실험결과에서 관찰된 모든 현상들은 lattice defect의 이론 보다는 Vol'kenshtein의 lattice disturbance 이론으로 잘 설명될 수 있었다.

Doping Effect on the Reduction Rate of Wüstite by H₂-Gas

Lee Kwang Hack

Dept. of Materials Science and Engineering

(Received December 30, 1981)

〈Abstract〉

Doping effect on the reduction rate of wüstite by H₂ gas wüstite reduction which is the rate-determining step of iron oxide reduction, was studied in H₂ gas atmosphere at temperatures above 900°C. Promoters such as Li₂O, MgO and CaO were added respectively to observe their effects on reduction of wüstite.

The results showed that the reduction rate maximum at 1.2wt% regardless of promoters.

When promoters were added, the reduction rates were increased at a degree of about 1.5 to 2 times in comparison with that of no addition. At constant H₂ gas flow rate the reduction rate increased as the reaction temperature increased. Similarly, at constant reaction temperature the reduction rate increased as the H₂ gas flow rate increased.

This may be due to avoiding hydrogen gas starvation. Those could be well explained by the Vol'kenshtein's lattice disturbance theory rather than the lattice defect theory.

I. 서 론

연구는 오래전부터 많은 학자들에 의해 꼬넓게 연구되어 왔다.

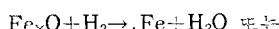
산화 분위기 하에서 철의 산화속도는 parabolic 철의 산화와 산화철의 기체에 의한 환원에 관한 rate law를 따름을 오래전 부터 관찰되었다.⁽¹⁻⁷⁾

특히 Smeltzer⁽⁵⁾는 CO-CO₂ 분위기 하에서 철의 산화철에 wüstite film의 성장속도는 CO₂의 분압에 직접비례하며 그것의 activation energy는 CO₂의 분해 energy와 wustite에서 얻어온 (Fe⁺²) vacancy의 확산에 대한 activation energy와 같다고 하였다. 산화철은 wüstite (FeO), magnetite (Fe₃O₄)로 구성되어 있으며 각각 결정구조, 생성기구 및 반응속도가 상이 하므로 산화, 환원에 관한 연구에 문제점이 따른다. Fe_xO는 570°C 이하에서는 열역학적으로 불안정하므로 wüstite phase를 거치지 않고 직접 Fe로 환원된다. wüstite는 NaCl형의 cubic structure로서 큰 oxygen ion 사이의 octahedral interstices에 Fe ion이 침입형으로 배열된 close packed oxygen lattice를 형성하는 p-type semiconductor로서 vacant cation site의 결함이 존재하므로 확산은 주로 양이온이 vacant site로 이동함으로서 이루어진다.

wüstite 중의 Fe 최대 함량은 Fe_{0.915}O⁽⁶⁾, Fe_{0.953}O⁽⁷⁾ 등은 조성범위의 single phase structure를 가이며 Darken과 Gurry⁽⁸⁾는 1,440°C 이상에서 wüstite에 5~12%의 vacancy가 존재한다고 했으며 magnetite는 과잉으로 산소가 존재하고 defect density는 wüstite 보다 적으며 확산은 양이온의 기어도가 80% 이상이며 나머지는 음이온 확산에 의해 형성된다고 Davis⁽⁶⁾ 등이 보고하였다.

hematite는 oxygen ion이 약간 부족한 n-type semiconductor로서 anion 확산에 의해 주로 형성된다. Edstrom⁽¹⁰⁾은 Fe 산화에 대한 Hauffe 제안을 근거로 hematite 확산에 대한 4가지 model를 제시하였다. 즉,

(1) gas 와 wüstite 경계면에서 빙웅에 의해 격자로부터 산소이온들이 빠져 나오며 그 결과는



(2) Fe_xO 와 Fe₃O₄ 경계면에서 Fe ion들이 charge를 교환하며 산소자자의 침입형 위치에 들어간다.

(3) 내부 ion들의 갑소나 gas 분자들을 포함하는 mass transfer는 Fe 외부표면에서 Fe의 crystal과 gas 계면-증을 통하는 사이의 과정으로 설명된다

(4) wüstite를 통한 vacancy mechanism에 의해 Fe⁺²와 e⁻의 이동한다고 했다.

산화철에 impurity element가 존재하므로서 환원속도에 미치는 영향에 대한 연구는 경립되어 있

지 않는 상태이다.

Vol'kesht⁽¹¹⁾의 이론에 의하면 산화철에 소량의 promoter를 첨가했을 때 환원속도는 증가하며 이는 상태 기으로서는 interstitial ion들의 lattice disturbance가 기인하며, promoter의 농도가 적당량에 이르기 까지는 증가되지만 그 이상이 되면 오히려 환원속도가 감소된다고 보고했다.

Hauffe⁽¹²⁾ 등은 metal deficit 형인 p-type defect를 갖는 NiO에 Li₂O를 첨가했을 때 Ni⁺²의 vacancy는 Li⁺ ion에 의해 감소되고 structure 내부의 vacancy 수가 electron 수보다 적게됨으로서 산화속도가 감소하고 lithium보다 higher valency ion이 첨가될 때는 반대 현상이 일어나 Wagner mechanism에 의한 parabolic rate law를 따라 산화속도가 증가한다고 했다.

Weston⁽¹³⁾은 1000°C에서 wüstite에 K, Na, Be 등을 첨가하여 CO gas로 환원 했을 때 환원속도가 증가하여 동일한 valence element 일 때는 ionic radius가 클수록 환원속도는 증가하고 1가 보다 2가 불순물이 첨가되었을 때 환원속도가 더 크다고 하였다.

Ezz⁽¹⁴⁾ 등은 hematite briquette에 CaO와 SiO₂를 첨가하여 환원실험을 한 결과 환원초기에는 환원속도가 증가하지만 환원달기에는 fayalite(2FeO·SiO₂)를 형성하므로 환원속도가 감소한다고 하였다. 앞에서 논의한 바와 같이 wüstite의 환원기구는 impurity 또는 promoter의 첨가에 따르는 물리적 성질의 영향, 즉 atomic volume, electronic charge, concentration 등을 도대로 하여 간단한 model를 제시하여 설명하는데 시도를 하였음을 알 수 있다.

본 실험에서는 wüstite에 promoter로 Li₂O, MgO, CaO와 같은 금속화물을 첨가하여 H₂ gas 분위기 하에서 환원시간으로 1 원자가 몇 ionic radius에 따라 wüstite에 결정결합을 생성시키고 이것이 환원속도에 미치는 영향을 조사하고 아울러 wüstite의 환원과정 중에서 rate-determining이 되는 FeO의 환원에 대한 난용기구를 규명하는데 본 실험의 목적이 있다.

II. 시료제작 및 실험방법

1. 시료제작

산화철은 570°C 이하에서는 열역학적으로 불안

정하여 쉽게 magnetite 와 Fe로 분해됨으로서 상온에서 wüstite 시트를 얻기는 어렵다. 따라서 본실험에서는 Kanto chemical Co. 제품의 전해철 분말(-300mesh)과 Wako pure chemical In. Ltd. 제품의 ferric oxide (-200mesh)를 1mole : 1mole 비로 섞어 steel ball과 함께 24시간 mixing 한후 1g 씩 평탕한후 2ton의 하중으로 직경 12mm, 높이 5mm 하여 compacting하여 green pellet를 만들었다. 이로부터 wüstite의 제조는 Foster⁽¹⁵⁾의 방법을 택하였다 즉, 이 green pellet를 alumina tube에 넣고 1100°C의 Argon gas 분위기 하에서 16시간 동안 sintering 한후 copper tube에 넣어 water quenching 하여 wüstite를 만들었다. 이와같이 하여 얻은

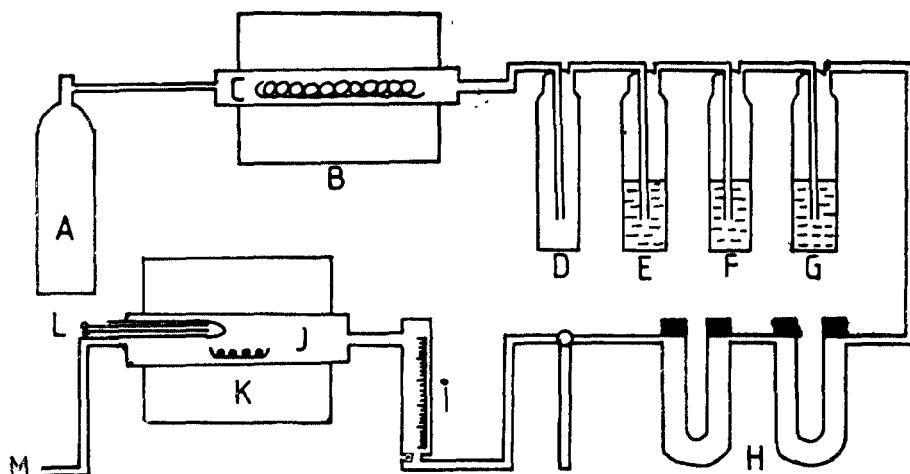
wüstite를 agate mortar에서 -200mesh로 분쇄 한후 promoter로 Li₂O, MgO, CaO를 각자 소정의 량만큼씩 섞어 앤서와 같은 방법으로 mixing weighing compacting, sintering의 과정을 거쳐 환원실험을 행하였다.(Fig.1 참조)

합성순수 wüstite와 promoter 첨가시 wüstite는 X-ray diffraction을 통하여 확인되었으며 전자의 경우 직자상수 값은 4.307 Å 이었고 후자의 경우는 promoter의 크기와 량에 따라 lattice parameter 값의 변화만 감지 되었다.

Table.1은 순수한 wüstite 시편을 분석한 결과를 나타낸것이다.

Table.1 Analysis of wüstite sample

| Elements weight% | C | S | P | Al | Si | Mn | Fe balance |
|---------------------|------|-------|---|------|------|----|---------------|
| | 0.02 | 0.072 | — | 0.19 | 0.42 | — | |



- a. Argon gas b. Tube furnace c. Copper turnings d. Safety bottle
- e. KOH solution f. Sulfuric-acid g. Pyrogallic acid h. Silica gel
- i. Flow meter j. Pellets k. Firing furnace l. Thermocouple
- (pt/pt-Rh) m. Gas outlet

Fig.1 Apparatus for preparation of wüstite powder and specimens.

2. 환원실험

상기와 같이하여 얻어진 wüstite pellet를 H₂ gas를 사용하여 quartz spring Cathetometer 장치로 환원실험을 실시하였다. Fig.2는 환원실험 장치를 나타낸 것이다. 시편은 약 700cc/min의 N₂

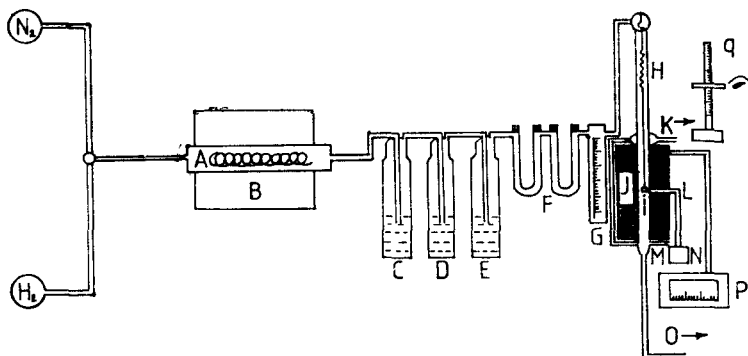
gas로 노내를 flushing 하여 반응온도까지 올린후 그 온도에서 약 30분간 유지한 후 이미 정해진 반응분위기로 바꾸어 실험하였다. 반응로는 수직관상으로서 직경 3.5cm, 높이 35cm인 alumina tube의 양단에 water jacket이 달린 pyrex-tube를 연

결하였으며 반응시 중량변화는 quartz spring-Cathetometer 장치로 측정하였다.

사용된 quartz spring은 Wordon Quartz Products Co. 제품으로 10mg 당 0.03cm의 선 증가를 하는 감도를 갖고 있으며 온도는 alumel-chromel

thermocouple를 tube 벽에 부착시키고 저동온도 조절기로서 온도를 $\pm 2^{\circ}\text{C}$ 내에서 조절하였다.

본 실험에 사용된 N_2 , Ar 및 H_2 gas는 시린용을 Fig. 1, 2처럼 adsorption trap를 거쳐 정제하여 사용하였다.



- | | | | |
|-------------------------------------|-----------------|-------------------------|----------------------------------|
| a. Copper turnings | b. Tube furnace | c. KOH Solution | d. Sulfuric acid |
| e. Pyrogallic acid | f. Silica gel | g. Flow meter | h. Quartz spring |
| i. Sample | j. Furnace | k. Cooling water outlet | l. Thermocouple (Alomel-Chromel) |
| p. Automatic temperature Controller | q. Cathetometer | m. Cooling water inlet | n. Cold junction |
| | | | o. Gas outlet |

Fig. 2 Experimental Apparatus.

III. 실험결과 및 고찰

Fig. 3, Fig. 4, Fig. 5, Fig. 6은 Li_2O MgO CaO 를 각각 promoter로 wt. %씩 철가루에 시간에 따른 환원속도에 미치는 영향을 $1,000^{\circ}\text{C}$ 에서 측정한 결과이다.

Li_2O 첨가시 환원초기 약 2분까지는 약 30%정도로 환원율이 증가하였으며 시간이 경과함에 따라 환원말기에는 점점 감소 현상을 보여주고 있다. 환원말기에는 dense layer 형상으로 총 반응표면적이 감소함으로서 반응율이 저인되는 것으로 사료된다. Li_2O promoter 첨가시 1.2wt.% 일때가 환원속도가 최대가 되며 1.2wt.% 이상 또는 이하일 때는 환원속도가 감소하고 있음을 볼수 있다.

MgO promoter 첨가시 환원초기 약 2분까지는 약 35%정도로 환원속도가 증가되나 환원말기에는 감소하고 있음을 알 수 있다. 환원속도는 Li_2O 의 경우에서와 같이 1.2wt.% 일때가 최대가 된다. CaO promoter 첨가시 환원초기 약 2분까지는 약 50정도로 환원율이 증가되나 환원말기에는 감소되며 환원율은 역시 1.2wt.% 일때가 최대가 되며 반응이 끝나는 시간도 거의 같음을 보여준다.

각 promoter 첨가시 환원초기 반응율은 대체로 전제의 약 30~50%정도를 나타내고 있으나 이는 단원에 의해 porous wustite layer가 형성되고 따라서 gas diffusion이 용이하여 반응면적이 증가함으로서 Fe ion들이 쉽게 diffusion in 되고 반면에 O_2 ion이 diffusion out되어 wustite 주위에 gas 확산을 막는 dense iron layer가 형성되면서 chemical control 되기 때문인 것으로 믿어졌다.

또한 환원말기에는 산화철의 critical thickness가 증가하여 고온으로 인해 생성된 산화철의 치밀도가 증가하여 gas-diffusion이 어려워진 결과로 환원속도가 저연되는 것으로 사료되며 이 저연 이유에 대해서는 철의 재결정과 retained wustite⁽¹⁶⁾의 sintering 등의 현상으로 해석되어 기고 있다.

그림에서 보는바와 같이 promoter의 힘광에 따라 $\text{Li}_2\text{O}-\text{MgO}-\text{CaO}$ 순서로 ionic radius가 증가함에 따라 valance가 증가함에 따라 환원속도가 증가 되고 있음을 보여준다.

Vol'kenshtein⁽¹¹⁾의 이론에 의하면 impurity element가 첨가될 때 환원속도에 미치는 영향은 lattice disturbance에 기인하며 이는 침입형으로 들어간 aton들이 새로운 adsorption site를 형성하여 active center site의 수를 증가시키며 lattice

disturbance는 마치 격자결합의 중심으로 작용하게 된다. 따라서 이론적으로 structural promoter의 영향은 침가 불순물의 ionic volume ($4/3\pi r^3$)에 비례하고 vacancy formation은 침가제의 ionic potential에 따라 증가된다. 따라서 valence가 동일할 때의 환원속도는 promoter의 ionic radius가 클수록 증가하며 ionic radius가 동일하게 되면 valence가 클수록 환원속도는 증가한다고 했다.

Khalafalla 와 Weston⁽¹³⁾은 산화철에 alkali metal oxide 및 alkali earth metal oxide를 promoter로 각각 0.69at.%씩 침가했을 때 환원속도가 최대가 되며 그 이상이 되면 환원속도가 감소하고 1가 보다 2가 promoter를 침가했을 때, ionic radius가 클수록 환원속도가 증가한다고 했으며 이는 Vol'kenshtein의 이론과 일치함을 알 수 있다. RaO⁽¹⁴⁾는 Fe₂O₃+9C mixture에 5wt.% 씩 Li₂O와 FeS를 침가했을 때 Li₂O는 환원속도가 증가하지만 FeS는 inhibitor로 작용하여 환원속도를 감소시켰다고 했다. Shehata 와 Ezz⁽¹⁵⁾는 Fe₂O₃에 CaO와 SiO₂를 침가했을 때 CaO는 1wt.% 까지는 환원속도가 증가하나 그 이상에서는 CaO와 Fe₂O₃가 monocalcium ferrite를 형성하여 일종의 slag화가 일어난 것으로 생각하며 calcium oxide는

phase boundary reaction에 의하여 환원이 촉진되고 gas diffusions이 controlling mechanism이라고 했다. SiO₂ 침가시도 환원속도를 증가시키지만 일정량 이상이 되면 refractory fayalite(2FeO, SiO₂)를 형성하므로서 환원속도가 감소된다고 했다. 따라서 pore structure는 온도와 H₂ gas 유속의 상호효과에 의해 결정되며 차기 반응성 결정에도 똑같이 상호 절충효과를 갖는 것으로 사료된다. 일반적으로 결정격자내에 promoter를 침가했을 때 lattice disturbance는 physical part와 electrical part의 2종으로 구분하여 생각할 수 있다. 즉

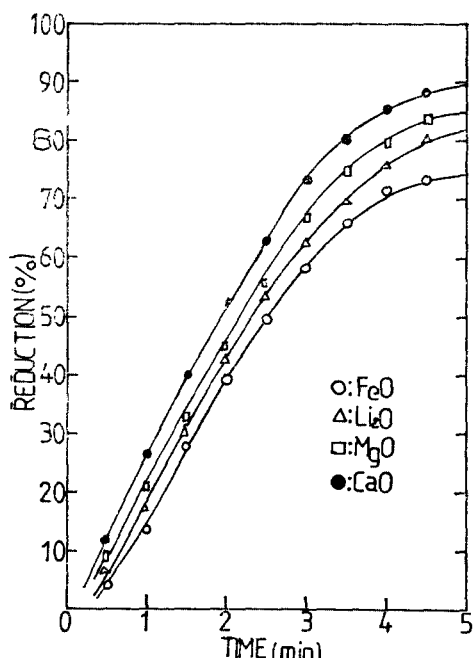


Fig. 3 Effect of promoter (0.4wt.%) on wustite reduction at 1,000°C.

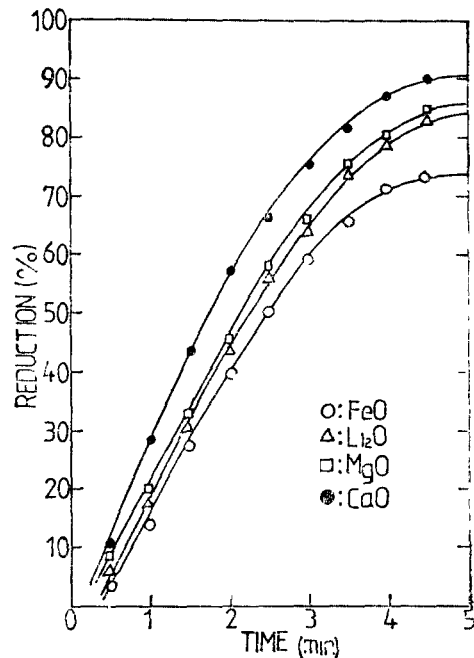


Fig. 4 Effect of promoter (0.8wt.%) on wustite reduction at 1,000°C.

Fe⁺² ion 보다 크거나 작은 ion들을 wustite에 침가하였을 때 격자는 팽창하거나 수축하는 결과를 초래할 것이며 비량 침가시 이와 같은 현상은 구부屈인 disturbance에 그치게 된다. 따라서 energy 관점에서 보면 이것은 active center site의 역할을 하게 되고 반응속도를 촉진하는 결과를 초래한다 반면에 격자 ion 보다 원자가가 높거나 낮은 ion들을 promoter로 침가하였을 때는 격자 결함을 일으키 ion의 확산을 크게 좌우하게 되는 결과로 반응속도에도 영향을 주게 된다.

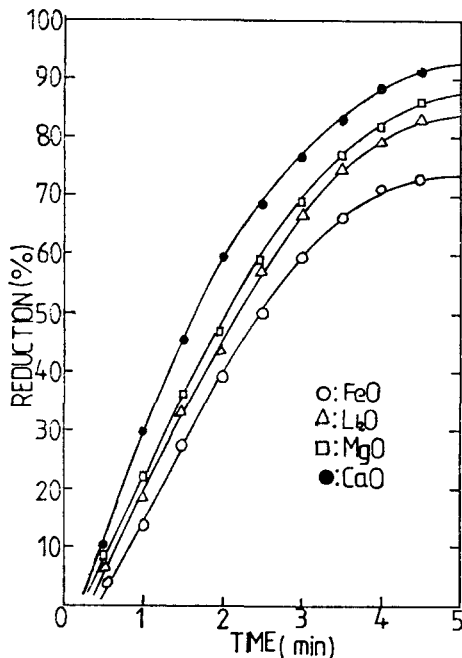


Fig. 5 Effect of promoter (1.2wt.%) on wustite reduction at 1,000°C.

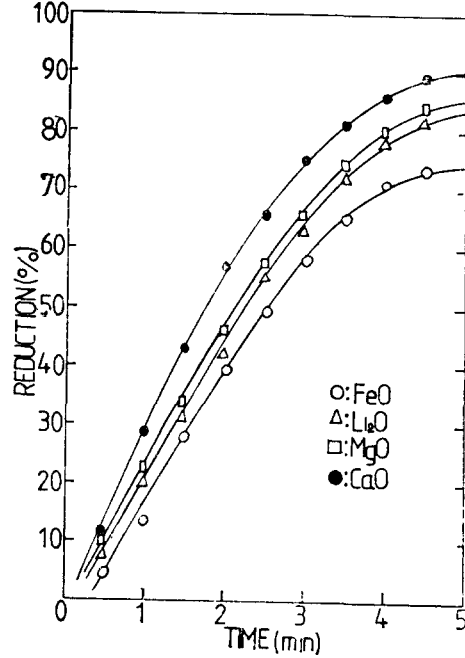


Fig. 6 Effect of promoter (1.6wt.%) on reduction at 1,000°C.

Table. 2 Crystal ionic radii⁽¹⁸⁾

| Ion | Li ⁺ | Mg ⁺² | Ca ⁺² | Fe ⁺³ | Fe ⁺² | O ⁻² |
|-----------------|-----------------|------------------|------------------|------------------|------------------|-----------------|
| Ionic radius(Å) | 0.68 | 0.65 | 0.91 | 0.64 | 0.76 | 1.40 |
| Relative size* | 0.89 | 0.86 | 1.2 | 0.84 | 1.00 | 1.84 |

*Ratio based on 0.76Å of Fe⁺² ion

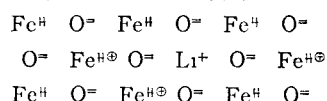
Fig. 7: CaO 1.2wt.% 를 promoter로 하여 1000°C에 기 H₂ gas flow rate의 변화에 따라 얻은 curve이다. 그림에서 보는 바와 같이 H₂ gas의 유속이 증가할 때 환원속도가 증가함을 보여주고 있으며 이는 H₂ gas의 starvation를 극복함과 동시에 환원속도가 H₂gas의 분압에 관계됨을 의미한다. Fig. 8: H₂ gas flow rate 1,000cc/min에서 온도 변화에 따른 환원속도의 영향을 나타낸 것이다. 그림에서 보는 바와 같이 온도가 높아 수록 환원속도는 증가하였다. 이는 온도가 높아짐에 따라 porous iron이 증가되어 gas diffusion이 용이하고 반응면적도 증가로 인한 반응성향상 및 internal reduction의 확장등에 기인한 것으로 생각된다. 다음 Table. 2에서 보는 wustite matrix를 형성하는 Fe⁺², O⁻² ion들과 promoter ion들의 결정 ion radius들을 예시하였다.

Table. 2에서 보는 바와 같이 Fe⁺²ion에 대한 반

경비가 Mg⁺², Li⁺, Ca⁺² 순으로 증가함을 알 수 있다. 이와 같은 현상은 환원실험의 결과와도 잘 일치하고 있다.

wustite matrix에 promoter를 첨가하면 결정 격자 결함이 발생하게 된다. FeO에 Li₂O를 첨가하면 Li⁺ ion은 Fe⁺² ion보다 선화수가 크기 때문에 각자이온 중에 positive hole를 생성하게 되며 Fe⁺² ion vacancy는 (intrinsic vacancy □Fe)를 잡소하게 된다.

다음 그림은 wustite lattice에 Li⁺ ion을 첨가하였을 때 발생할 수 있는 격자결함을 간략하게 표시한 것이다. 방정식들은 promoter의 첨가시 격자내부에서의 electric 및 mass balance를 기초로 defect 방정식을 보여준 것이다.



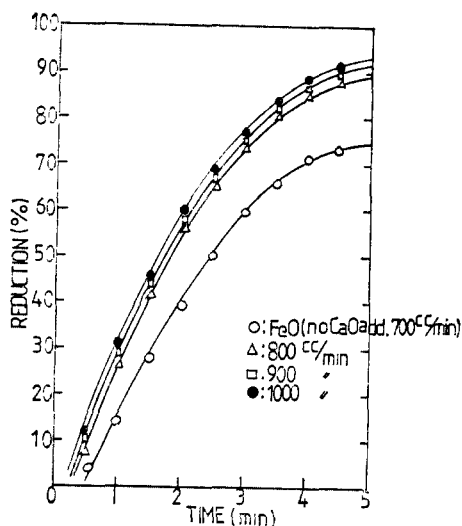


Fig. 7 Effect of H₂-gas flow rate on the reduction of doped wüstite (1.2wt, % CaO) at 1,000°C.

O = □ O = Fe[#] O = L_{i+}
Fe⁺² O = Fe[#] O = Fe[#] O =

lattice defect equation에 의하여



여기서 V_{Fe} = Fe⁺²의 vacancy

⊕ = electron hole

Li_{Fe} = Fe site가 Li로 치환

wüstite 환원시 Fe⁺² ion의 확산이 용이하면 환원 속도가 증가할 것은 자명한 사실이다. 또 Fe⁺² ion의 확산은 V_{Fe} 에 환수관계가 있어 V_{Fe} 의 증가에 따라 Fe⁺² ion의 확산은 용이하게 된다. 빙정식에서 볼 수 있는 바와 같이 Li₂O 침가시 V_{Fe} 는 감소하나 CaO, MgO 침가시에는 V_{Fe} 도 증가하여야 한다. 실험결과를 보면 반응속도는 Li₂O, MgO, CaO promoter의 순서로 증가함을 볼 수 있으나 순수 wüstite 보다 반응속도가 증가하는 이유는 격자결함의 영향보다는 결정격자의 disturbance 영향으로 보여진다. 반응속도는 Li₂O, MgO, CaO 순서로 증가하며 이는 앞서 기술한 Vol'kenshtein의 lattice disturbance 이론과 잘 일치하고 있으며 promoter를 침가했을 때는 침가 산화물의 cation valence와 침가량에 따라 다르나 순수 FeO의 환원속도 보다 항상 빠른 것으로 나타났다.

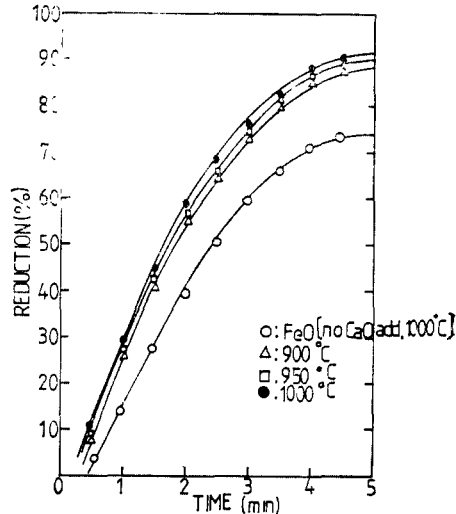


Fig. 8 Effect of Temperature on the rate of reduction of doped wüstite (1.2 wt, % CaO) under H₂-gas (1,000cc/min.)

IV. 결 론

1. impurity element 침가시 환원속도는 순수 wüstite의 환원속도 보다 약 1.5배정도 증가하였다
2. 환원속도는 Li₂O → MgO → CaO 순서로 증가하였으며 Li₂O, MgO 및 CaO 침가시에는 각각 1.2wt. %에서 환원속도가 최대로 나타났다.
3. H₂gas 유속이 일정 할때는 온도가 높을 수록 환원속도는 증가하였으며 온도가 일정 할때는 H₂gas 유속이 클수록 증가 하였다.
4. impurity element에 의한 환원속도의 증가는 lattice defect의 영향보다는 Vol'kenshtein의 lattice disturbance의 영향으로 설명될 수 있다.

참 고 문 헌

1. W.W. Smeltzer; Acta Met., 8, (1960) p. 377-383.
2. W.M. Mckewan; Trans. Met. Soc. AIME., 212, (1958) p. 791-793.
3. F. Pettit, R. Vingner; J.B. Wagner Acta Met., 8, (1960) p. 617-623.
4. J.K. Stanly, Miss J von Hoene & R.T. Huynoont; Trans. A.S.M., 43, (1951) p. 426-

- 453.
5. W. W. Smeltzer; Trans. Met. Soc. AIME., 218, (1960) pp. 481—674.
 6. M. M. Davis, M. T. Simnad & C. E. Birchenall; J. Metals., (1951) pp. 889—896.
 7. E. T. Turkdogan, W. M. McKewan & L. Zwell J. Phy. Chem., 69, (1965) p. 327—334.
 8. L. S. Darken & R. W. Gurry; J. ACB., 67, (1945) p. 1389. 68, (1946) p. 798.
 9. E. R. Jette & F. Foote; J. Chem. Phys., 1, (1933) p. 29, Trans. AIME., 105, (1933) p. 276.
 10. J. O. Edström; J. Iron & Steel Inst., 175, (1953) p. 289.
 11. F. F. Vol'kenshtein; Zh. fiz. Khim., 22, (1948) p. 311—330.
 12. H. Pfeiffer & K. Hauffe; Z. Metallk., 43, (1952) p. 364.
 13. S. E. Khalalla & P. L. Weston; Trans. Met. Soc. AIME., 239, (1967) p. 1494.
 14. K. A. Shehata & S. Y. Ezz; Trans. ISIJ., 17, (1977) p. 629—635.
 15. P. K. Foster & A. I. E. Welch; Trans. Frad. Soc., 52, (1956) p. 1626.
 16. K. A. Shehata & S. Y. Ezz; Trans. I.M.M., (1973) PC38. Inst. Min. Metal., (1973) March.
 17. Y. K. RaO; Met. Trans., 3, (1972) p. 1439.
 18. N. N. Greenwood; Ionic crystals lattice defect & non-stoichiometry, Butlerwoth, London (1968) p. 135.